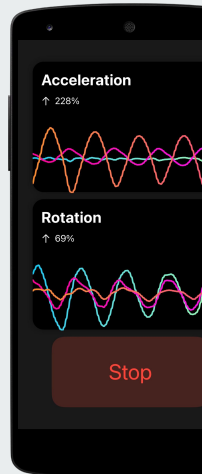

Исследование и разработка методов статической аутентификации пользователей по данным датчиков движения мобильного устройства

к.ф.-м.н., доцент, Казачук Мария Андреевна

к.ф.-м.н., доцент, Петровский Михаил Игоревич

студент магистратуры, Чикин Олег Павлович



Актуальность задачи (1)

- Проблема **обеспечения конфиденциальности** данных в информационных системах, в том числе **мобильных устройствах (смартфонах)**, актуальна.
- **Аутентификация** – один из основных инструментов обеспечения конфиденциальности.
- Существующие системы аутентификации в смартфонах **уязвимы**:
 - Высокий риск компрометации паролей / отпечатков пальцев и т.д.
- Необходимо разрабатывать **новые** сценарии и алгоритмы **статической** аутентификации пользователей смартфонов.

Актуальность задачи (2)

- Введение статической аутентификации пользователей смартфонов на основе **анализа жеста**, проделанного со смартфоном в руке:
 - Не требуется наличия **специализированного оборудования**;
 - **Высокая надежность** за счет использования поведенческих биометрических показателей.
- Данные, характеризующие жест пользователя, снимаются с **датчиков движения**, встроенных в смартфон:
 - **Акселерометр** – основной датчик движения, измеряет проекцию кажущегося ускорения (разности между истинным ускорением объекта и гравитационным ускорением).
 - Таким образом, снятые данные представляют собой **временной ряд**.

Постановка задачи

- Исследование существующих и разработка собственных алгоритмов **статической аутентификации пользователей** по данным датчиков движения мобильного устройства:
 - Рассматривается **аутентификация** пользователя по **жесту**, выполненному со смартфоном в руке.

Обзор существующих решений

Базовое решение

- Был изучен имеющийся задел кафедры ИИТ по данной тематике:
 - Разработанные решения основаны на анализе показаний акселерометра.
- Качество этих решений превосходит результаты существующих работ, однако не является достаточно высоким:
 - Метрика ROC AUC составляет порядка 0.93.
- Собранный ранее набор данных не является достаточно репрезентативным:
 - Включает в себя показания только 7 пользователей.
- Предлагается:
 - Улучшить эти решения путем проведения обзора последних работ по данной тематике, выявления и применения наиболее перспективных методов, не рассмотренных ранее, а также разработки собственных алгоритмов;
 - Добавить дополнительный сбор показаний гироскопа, собрать новый набор данных и рассмотреть возможность комбинированной аутентификации.

Итоги обзора (1)

- Был проведен **обзор** последних **20 научных статей** по данной тематике.
- Были определены не рассмотренные ранее наиболее перспективные методы **предобработки временного ряда**:
 - Использование фильтров (Баттерворта, Савицкого-Голея), кубического сглаживающего сплайна для удаления шумов;
 - Нормализация данных.
- В качестве элементов **вектора признаков**, зачастую используют:
 - Max-, min-, mean-, median-значения временного ряда, дисперсию, коэффициенты эксцесса и асимметрии, среднее квадратическое и стандартное отклонение, диапазон, длину и магнитуду;
 - Данные показатели рассчитываются как для всего временного ряда (из модулей ускорения или отдельных его компонент), так и для его отдельных участков.

Итоги обзора (2)

- Были определены перспективные методы **сокращения размерности** пространства признаков:
 - Линейный дискриминантный анализ (LDA);
 - Метод главных компонент (PCA);
 - Выбор признаков на основе корреляции (CFS).
- Среди наиболее перспективных методов **построения модели** пользователя, ранее также показавших высокие результаты, следует отметить следующие:
 - One Class K-Nearest Neighbors (One Class KNN);
 - One Class Support Vector Machine (One Class SVM);
 - Нейронные сети – сверточные, рекуррентные, многослойный персептрон.
- При этом, **метрика ROC AUC** в рассмотренных в ходе **обзора** работах не превышает 0.90–0.92, используемые **наборы** данных **закрыты** и содержат в среднем образцы жестов по **7–10** пользователям.

Исследование и построение решения

Набор данных (1)

- Используемые в существующих работах **наборы данных** являются **закрытыми** и содержат **в среднем** образцы жестов по **7–10** пользователям.
- Собранный ранее **на кафедре** набор данных содержит данные по **7** пользователям, снятые с акселерометра.
- Был реализован программный прототип системы аутентификации пользователей мобильных устройств, поддерживающий **дополнительный** сбор показаний **гироскопа**, и на его основе был собран **новый набор данных**:
 - Три вида **простых и сложных** жестов: “Звезда”, “Бесконечность”, слово “Кот”;
 - Жесты описываются **ускорением** (показания акселерометра) и **угловой скоростью** (показания гироскопа) смартфона **по трем осям**;
 - **15** пользователей, в среднем по **50** образцов каждого жеста **на пользователя**;
 - Показания **гироскопа** могут **улучшить** точность модели, а **увеличение** числа пользователей сделает набор данных **более репрезентативным**.

Набор данных (2)

- В базовом решении и самостоятельно реализованном программном прототипе системы аутентификации **сбор данных** осуществляется через **web-сайт**:
 - Возможность осуществлять сбор данных на **основных мобильных платформах** (iOS, Android) **без отдельных реализаций** для каждой из них;
 - Мобильное устройство **не занимается тяжелыми вычислениями**, которые могут повлиять на его работу.
- Для проверки **корректности удаленного** сбора данных (отсутствия потерь в качестве данных при их удаленном снятии с датчиков мобильного устройства) было реализовано **локальное приложение** для сбора данных:
 - Для работы на iOS, язык программирования Swift, 500 строк кода;
 - Проведенные эксперименты показали **идентичность** собранных данных при **удаленном и локальном** сборе.

Распознавание на основе вектора признаков (1)

- Базовое решение основано на использовании:
 - Вейвлет-преобразования модулей ускорений с ограничением детализирующих коэффициентов, выделении статистических характеристик, последующей стандартизации признаков и метода Fuzzy.
- Вейвлет-преобразование одномерного сигнала – это его представление в виде обобщенного ряда по системе базисных функций, сконструированных из исходного вейвлета ψ :

$$\psi_{ab}(t) = \frac{1}{\sqrt{a}}\psi\left(\frac{t-b}{a}\right)$$

где b – параметр, отвечающий за **сдвиг во времени**, a – параметр, отвечающий за изменение **временного масштаба**.

- В дискретном вейвлет-преобразовании сигнал пропускают через **низкочастотный** и **высокочастотный** фильтры и получают **аппроксимирующие** и **детализирующие** коэффициенты, которые прореживают в 2 раза.

Распознавание на основе вектора признаков (2)

- Базовое решение основано на расчете **вектора признаков** на основе статистик по **аппроксимирующими и детализирующими** коэффициентам временного ряда:
 - Max-, min-, mean-значения и стандартное отклонение модулей ускорений смартфона.
- Для **повышения** точности аутентификации, предлагается:
 - Добавить **статистики** по значениям показаний **гироскопа**;
 - Исследовать **не рассмотренные** ранее перспективные **алгоритмы фильтрации** временного ряда (как отдельно, так и в комбинации с вейвлет-преобразованием);
 - Скорректировать **набор** вычисляемых **статистик**;
 - Рассчитывать статистики **не только** для **модулей** показаний акселерометра и гироскопа, но и для их отдельных **проекций** по трем осям;
 - **Проанализировать** влияние **аппроксимирующих и детализирующих** коэффициентов на точность аутентификации;
 - Рассчитывать статистики по **отдельным равномерным** частям временного ряда.

Распознавание на основе вектора признаков (3)

- В качестве **постобработки** вектора признаков, в базовом решении используется алгоритм **стандартизации**:
 - Предлагается рассмотреть влияние **нормализации и стандартизации** признаков на качество аутентификации.
- Предлагается рассмотреть не исследованные ранее алгоритмы **сокращения размерности пространства признаков**.
- Рассматриваемая задача является задачей **поиска исключений**:
 - **Исключения** – объекты, которые **не соответствуют** или **сильно отличаются** от остальных объектов в хранилище или базе данных.
- Для построения модели пользователя базовое решение использует **нечеткий метод поиска исключений** с использованием потенциальных функций (Fuzzy):
 - Предлагается продолжить **исследование** применимости данного алгоритма вместе с алгоритмами **One Class KNN** и **One Class SVM**.

Распознавание на основе вектора признаков (4)

- В ходе **исследования** была получена следующая **модификация** базового решения:



- Данная модификация включает в себя:
 - Добавление показаний **гироскопа**;
 - Добавление **проекций** показаний датчиков (по 3-ем осям);
 - Добавление **новых статистик** (коэффициент эксцесса, коэффициент асимметрии, 87-й процентиль, межквартильный размах, стандартная ошибка);
 - Многократное** применение **вейвлет-преобразования** (к аппроксимирующим коэффициентам);
 - Применение **новых фильтров** (*Баттерворт*, кубического сплайна).

Беспризнаковое распознавание (1)

- Базовое решение основано на использовании:
 - Метода **фильтрации** последовательностей ускорений смартфона по трем осям – скользящего окна, метода **динамической трансформации временных рядов** (DTW) и метода **Fuzzy** (с DTW-ядром Гаусса).
- Для **повышения** точности аутентификации, предлагается:
 - При вычислении метрики DTW использовать **не только** показания **акселерометра**, но и показания **гироскопа**;
 - Рассматривать не только **показания** датчиков смартфонов **по трем осям**, но и **модули** соответствующих величин;
 - Использовать предварительную **вейвлет-параметризацию** временного ряда перед вычислением метрики **DTW**, а также предварительное **применение** других перспективных **фильтров**, выявленных на этапе обзора.

Беспризнаковое распознавание (2)

- В ходе **исследования** была получена следующая **модификация** базового решения:



- Данная модификация включает в себя:
 - Добавление показаний **гироскопа**;
 - Добавление **модулей** показаний датчиков;
 - Многократное** применение **вейвлет-преобразования** (*к аппроксимирующим коэффициентам*);
 - Применение **новых фильтров** (*Баттерворт, кубического сплайна*).

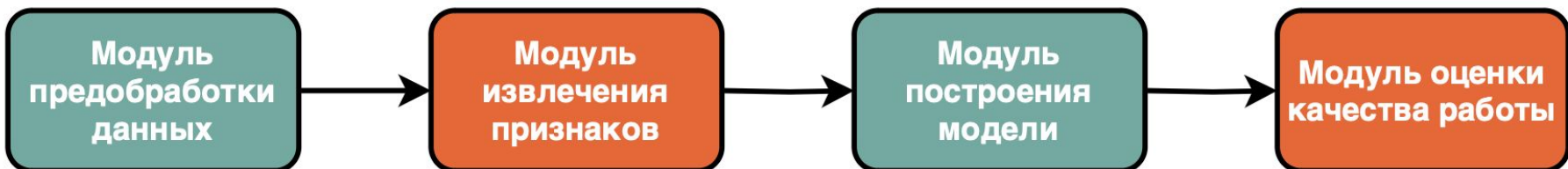
Экспериментальное исследование

Исследуемый подход	Mean ROC AUC	Median ROC AUC	Interquartile Range	FRR	FAR	ERR
Беспризнаковое распознавание (предложенное решение)	0.99	0.99	0.0008	0.001	0.007	0.004
Распознавание на основе вектора признаков (предложенное решение)	0.98	0.99	0.0065	0.013	0.018	0.016
Беспризнаковое распознавание (базовое решение)	0.93	0.95	0.0087	0.016	0.017	0.017
Yanna 2021	0.92	0.91	0.0163	0.025	0.024	0.025
Huang 2022	0.90	0.90	0.0256	0.049	0.050	0.056
Распознавание на основе вектора признаков (базовое решение)	0.87	0.86	0.0358	0.078	0.081	0.080
Shen 2020	0.87	0.85	0.0405	0.082	0.084	0.091
Liu 2009	0.85	0.84	0.0515	0.093	0.085	0.095

По результатам экспериментальных исследований предложенные решения превзошли по качеству работы существующие и могут активно применяться на практике.

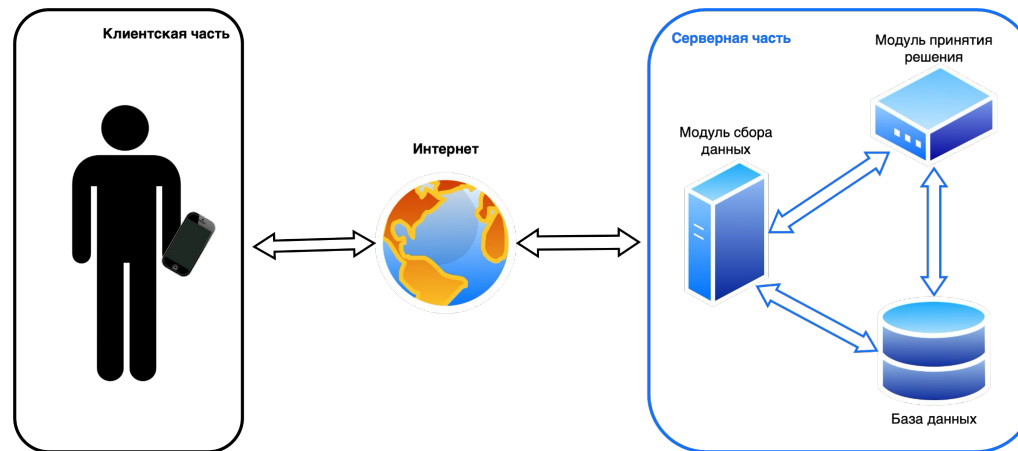
Программная реализация

- В ходе работы, были реализованы:
 - Экспериментальный стенд для проведения исследований (~850 строк на Python3);
 - Приложение для локального сбора данных с акселерометра и гироскопа смартфона (~500 строк на Swift);
 - Программный прототип кроссплатформенной системы аутентификации пользователей мобильных устройств (~1700 строк на Python3, JS, CSS, HTML).



Программный прототип системы аутентификации (1)

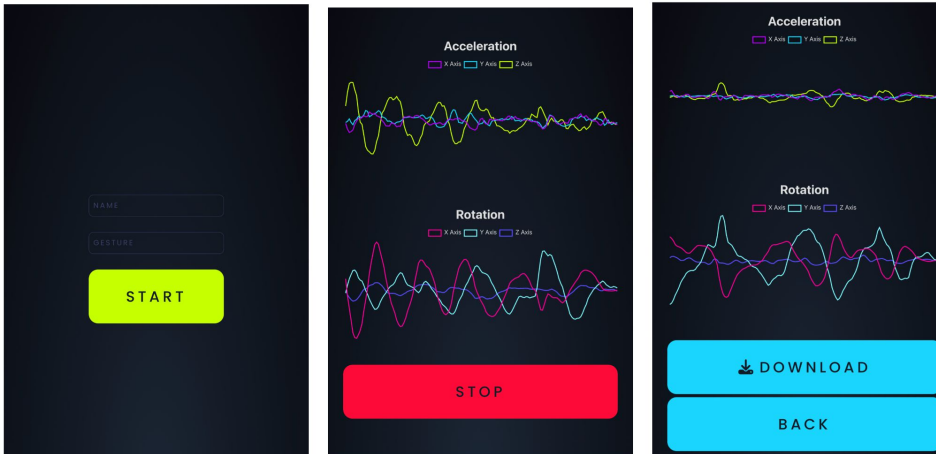
- Общая архитектура:



- Клиент сбора для мобильного устройства реализован в виде веб-страницы с помощью **HTML, JS** и фреймворка **jQuery Mobile** (~600 строк кода);
- Взаимодействия между клиентом и сервером происходят поверх соединения, защищенного **SSL**;
- В качестве хранилища данных используется реляционная СУБД **PostgreSQL**;
- Для реализации серверной части использовались язык **Python3** и фреймворк **Django** (~1000 строк кода).

Программный прототип системы аутентификации (2)

- Клиентская часть системы аутентификации была протестирована на iOS (версий 16 и 17) и Android (версий 16 и 17), серверная часть тестировалась на Linux (Ubuntu 22.04.3 LTS):
 - Предобработка данных и извлечение признаков: **64 мс** для 40 временных рядов;
 - Обучение модели: **89 мс**;
 - Применение модели: **1.6 мс**.
- Аппаратные характеристики сервера: 4-х ядерный Intel Xeon (Icelake) с частотой 2000 МГц и 4 Гб RAM.



Результаты

- Были **предложены модификации** базового решения, основанного на вейвлет-преобразовании и вычислении признаков на основе статистик:
 - Это позволило значительно увеличить показания Mean ROC AUC (с 0.87 до 0.98).
- Были **предложены модификации** базового решения, основанного на DTW-преобразовании и применении классификатора с DTW-ядром Гаусса:
 - Это позволило значительно увеличить показания Mean ROC AUC (с 0.93 до 0.99).
- Были **разработаны экспериментальный стенд** для проведения исследований, а также **приложение для локального сбора данных**, подтвердившее идентичность удаленно и локально собранных данных.
- Был разработан **программный прототип системы аутентификации** пользователей мобильных устройств и **собран новый набор данных** для проведения исследований:
 - Данный прототип может быть использован для построения перспективных систем ИБ, включающих в себя анализ жестов, проделанных с мобильным устройством в руке.

Спасибо за
внимание!

Алгоритм DTW

Рассмотрим 2 временных ряда:

$$Q = q_1, q_2, \dots, q_i, \dots, q_n;$$

$$C = c_1, c_2, \dots, c_j, \dots, c_m;$$

где $q_i = [p_{i,x}, p_{i,y}, p_{i,z}], c_j = [p_{j,x}, p_{j,y}, p_{j,z}]$

- Строим матрицу d порядка $n \times m$:

$$d(q_i, c_j) = \sqrt{(p_{i,x} - p_{j,x})^2 + (p_{i,y} - p_{j,y})^2 + (p_{i,z} - p_{j,z})^2}$$

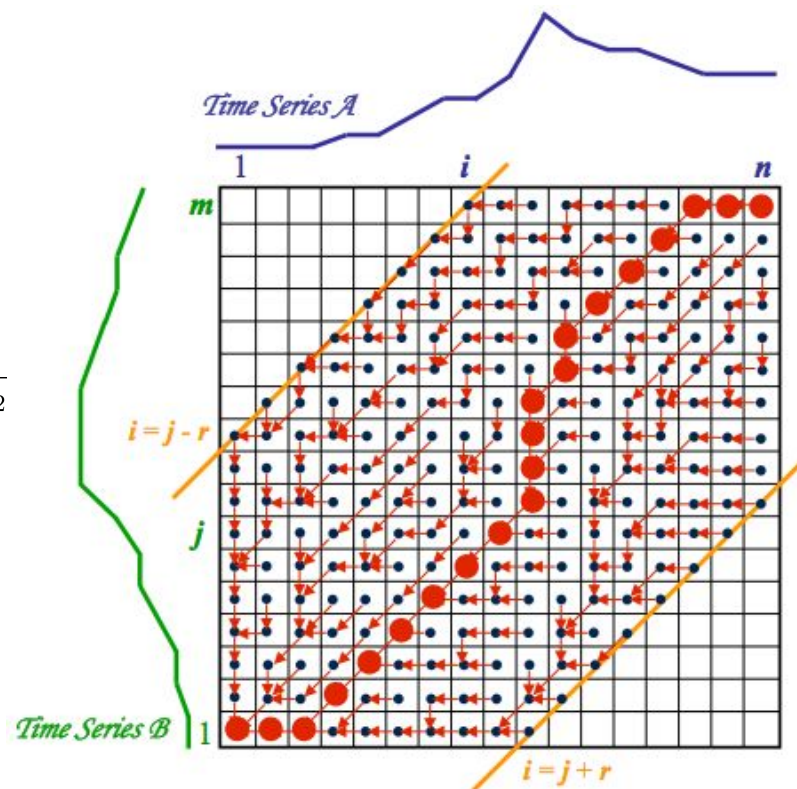
- Строим матрицу трансформаций D , каждый элемент которой:

$$D_{i,j} = d_{ij} + \min(D_{i-1,j}, D_{i,j-1}, D_{i-1,j-1})$$

- Строим оптимальный путь трансформации W и DTW-расстояние:

$$W = w_1, w_2, \dots, w_K; \max(n, m) \leq K \leq m + n$$

$$DTW(Q, C) = \min \left(\frac{\sum_{k=1}^K d(w_k)}{K} \right)$$



Нечеткий метод поиска исключений (1)

Идея выявления исключений:

- С помощью **потенциальной функции** строится отображение исходного множества анализируемых объектов в **пространство характеристик**;
- Вместо гиперсферы, содержащей образы анализируемых объектов, в пространстве характеристик строится один общий **нечеткий кластер**, содержащий **все образы** анализируемых объектов;
- **Степень принадлежности** образа анализируемого объекта этому кластеру интерпретируется как **мера “типичности”**.

Нечеткий метод поиска исключений (2)

- Метод формально приводит к задаче **минимизации функционала**:

$$\min_{U,a,\eta} J(U, a, \eta) = \sum_{i=1}^N u_i^m (\varphi(x_i) - a)^2 + \eta \sum_{i=1}^N (1 - u_i)^m$$

где a – центр нечеткого кластера в пространстве характеристик; N – число анализируемых объектов; U – вектор значений, где $u_i \in [0,1]$ – степень типичности i -го объекта; $m > 1$ – степень нечеткости и $\eta > 0$ – параметр, контролирующий размер или радиус нечеткого кластера в пространстве признаков высокой размерности.

- На основе итерационного метода, минимизирующего функционал $J(U, a, \eta)$, для каждого анализируемого объекта z находится значение его меры типичности:

$$u(z) = \left[1 + \left(\frac{\sum_{j=1}^N u_j^m \sum_{i=1}^N u_i^m K(x_i, x_j)}{\eta \left(\sum_{i=1}^N u_i^m \right)^2} - 2 \frac{\sum_{i=1}^N u_i^m K(z, x_i)}{\eta \sum_{i=1}^N u_i^m} + \frac{K(z, z)}{\eta} \right)^{\frac{1}{m-1}} \right]^{-1}$$

где K – используемая ядровая (потенциальная) функция.

Потенциальные функции

Для методов, в которых можно осуществить *kernel trick* (способ классификации, позволяющий работать в **новом** пространстве признаков, **не вычисляя координаты** данных в пространстве **более высокой** размерности), необходимо выбрать способ расчета потенциальной функции. В качестве таковых могут выступать:

- DTW-ядро Гаусса:

$$K(x, y) = \exp\left(-\frac{DTW(x, y)}{2\sigma^2}\right)$$

- Ядро Гаусса:

$$K(x, y) = \exp\left(-\frac{\|x - y\|^2}{2\sigma^2}\right)$$

где σ – ширина используемого ядра (параметр алгоритма).